

一 弾性波速度変化測定結果の統計的処理方法

(株) 間組 ○正会員 世一 英俊
 同 上 正会員 蓮井 昭則
 同 上 正会員 山下 亮

1. まえがき

トンネル・地下空洞の掘削によって周辺岩盤にいわゆる“ゆるみ”が発生する。この“ゆるみ”の領域の大きさや挙動を計測により把握することは、構造物の安全性を評価する上で重要である。一般に、ゆるみの計測としては各種計測法があるが、最近、弾性波速度の変化による方法が実施されることが多い。しかしながら、本方法は測定の実現性と測定精度を高めることが大きな課題となっている。

2. 弾性波速度測定システム

本方法は従来の屈折法による弾性波速度測定ではなく、通常、孔間弾性波速度測定の方法をとり、さらに測点間隔も短くなっている。従って、伝播時間差の読み取りの精度が厳しく要求されるため、図-1に示す測定システムを採用した。本測定システムの構成を以下に示す。

- ①受振子として固有振動数の高い(20 kHz)圧電型加速度計を埋設している。このことにより、弾性波立上りの読み取り精度が著しく改善され、設置条件の変動もなくなる。
- ②データレコーダを用いて、高速記録-低速再生する。時間軸を最大64倍に延長させることができる。
- ③②のデータレコーダより電磁オシログラフに記録-再生した場合、156 μsが10 mmの長さに表示される。

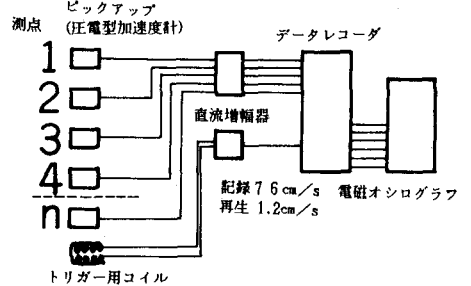


図-1 測定システム

- ④起振は電気雷管で数回実施する。3節に述べる統計的処理により、信頼性の高い品質の保証ができる。

3. 測定結果の統計的処理方法

a) 母平均・母平均の区間推定

各測点間岩盤の弾性波速度(母集団と考える)のサンプリングをし、このサンプル(サンプル数: N)の値から母集団の母平均ならびに母分散を推定する。N個のサンプルデータから標準偏差Sを求め、母集団の母分散σのかわりにSを用いると、次式により母平均の信頼率95%の信頼限界が得られる。

$$U. = \bar{x} \pm t(\phi, \alpha) S / \sqrt{N} \quad (1)$$

ここに、 U. : 母平均と母平均の信頼区間

\bar{x} : サンプルの平均値

S : サンプルの標準偏差

N : サンプル数

t(φ, α) : 自由度φ = (N - 1) のt分布表から得られる信頼度(1 - α)の限界値

b) 岩盤状況の変化の検定

掘削により岩盤の応力状態が変化したり、ゆるみが発展すると、岩盤の弾性波速度が変化する。しかしながら、測定値の変化(平均値, バラッキ)が測定精度範囲内から岩盤状況の変化に

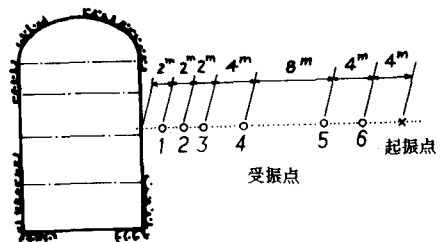


図-2 測点配置例

よるものかの検定という手法により評価する。

①分散の差に関する検定

分散の差に関する検定をF検定により実施する。

詳細は紙面の都合により省略するが、 F_0 :分散比、 $F(\phi_1, \phi_2; \alpha/2)$: F分布表の限界値、を比較し、

$$F_0 \leq F(\phi_1, \phi_2; \alpha/2) \quad (2)$$

の時、測定値のバラツキ間に差があるとはいえないという結論が得られる。

②平均値の差に関する検定

分散の検定において有意差が認められない場合、以下に示すように平均値の差を検定する。

分散に有意差がないことから、標準偏差Sは、

$$S = \sqrt{(S_A^2 + S_B^2) / ((N_A - 1) + (N_B - 1))} \quad (3)$$

ここに、 N_A, N_B, S_A, S_B はそれぞれ第A回目および第B回目の測定のサンプル数と平方和を示している。

統計量、 $t_0 = (\bar{x}_A - \bar{x}_B) / S \cdot \sqrt{1/N_A + 1/N_B} \quad (4)$

は、2組の μ_A, μ_B (母平均) に差があれば自由度 $\nu = (N_A + N_B - 2)$ なるt分布に従う。

従って、平均値に差がある場合、有意水準5%として、

$$|t_0| > t(N_A + N_B - 2, 0.05) \quad (5)$$

となる。すなわち、検定の結果、式(5)が満足されるならば、岩盤状況に変化が発生したことになる。

4. 測定結果の一例と精度

図-2に示した測点配置に従って、弾性波速度測定を行った時のサンプルデータと整理一覧表を表-1に示す。第1A回測定と第1B回測定とは空洞掘削の進行がない時点、日時を改めて測定値の再現性についてチェックしたものである。表に示した測定値を用い、3節に述べた検定を実施した。

(計算例) 区間1~2について、 $N_A = 8, N_B = 6, S_A = 25001, S_B = 29567, \bar{x}_A = 5048.3, \bar{x}_B = 5120.3$ を式(3)、(4)に代入すると、 $S = 67.43, |t_0| = 1.977$ を得る。一方、t分布表より、 $t(12, 0.05) = 2.179$ であるから、 $|t_0| = 1.977 < t = 2.179$ となり、有意差は認められない。すなわち、平均値に差は認められないという結論を得る。同様の計算により、他区間における測定値についても有意差が認められないことがわかる。

このことにより測定値の再現性が確認できた。

図-3は上記サンプル14データについて整理したときの測点間隔と測定値のバラツキ率(標準偏差/速度平均値)を示している。

同図より、測点間隔2mで速度値には2%程度のバラツキしかなく、良好な精度で測定・読み取りが行われていることがわかる。(標準偏差/平均値)

5. あとがき

本測定システムとデータ整理方法を組み合わせると、従来速度精度と再現性の点で問題のあった弾性波速度変化を高い精度で把握することができ、ゆるみの評価に十分利用できることがわかった。なお、現在同様の方法で弾性波振幅の減衰変化によるゆるみ評価にもとり組んでいる。

- (参考文献) 1) (社)日本トンネル技術協会; トンネル掘削によるゆるみ領域の調査報告書, S57.3..2)
 本荘, 本島; 新高瀬川発電所の地下掘削に伴う周辺岩盤の弾性波速度変化, 電中研報告 379003, S54.11..
 3) 吉岡, 鍋岡; 弾性波疎層による分府地下発電所周辺岩盤のゆるみの評価, 電中研報告 382028, S57.11..
 4) 鐵健司; 品質管理のための統計的方法入門, 日科技連, S52.7..

表-1 測定結果と整理法一例

項目	57%区間	サンプル平均 (m/sec)						平均値差	標準偏差	S (%)	標準偏差率			
No.	N													
A	1-2	5266	5002	5278	5282	5066	5730	4971	4971	2700	5968.3	5976	1.10	±130.0
	2-3	5047	5172	5193	5223	5227	4984	5205	5207	8702	5202.5	11.52	2.22	±13.2
	3-4	5633	5340	5167	5572	5572	5572	5685	5379	22346	5722.5	5635	1.01	±47.3
	4-5	5590	5524	5407	5570	5505	5571	5571	5571	12374	5526.4	29.88	0.55	±25.0
	5-6	5783	5457	5434	5408	5264	5264	5481	5370	30073	5677.1	66.54	1.16	±26.0
B	1-2	5197	5177	5180	4997	5001	5130	4925	5720	7670	5720.4	76.70	1.5	±100.7
	2-3	4964	5223	5267	5493	4893	5267	7268	5267	12700	5267	23.2	2.27	±27.4
	3-4	5703	5166	5526	5247	5167	5263	17987	5264.8	59.09	1.05	±22.0		
	4-5	5321	5526	5553	5542	5563	5542	1875	5520.2	17.25	0.32	±18.6		
	5-6	5703	5681	5671	5675	5672	5679	1593	5679.2	17.22	0.31	±18.5		

* $t(7, 0.05) = 2.368, t(5, 0.05) = 2.571$

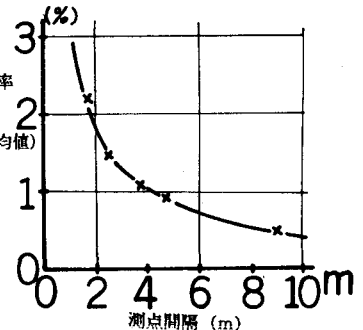


図-3 測点間隔とバラツキ率